

ANATOMIA DA MADEIRA DE DUAS ESPÉCIES DE *BACCHARIS* L. (ASTERACEAE - ASTEREAE)¹.

JOSÉ NEWTON CARDOSO MARCHIORI² ANABELA SILVEIRA DE OLIVEIRA-DEBLE³
LUCIANO DENARDI⁴

RESUMO

São anatomicamente descritas as madeiras de *Baccharis longoattenuata* An. S. de Oliveira e *Baccharis milleflora* (Less.) DC. As duas espécies apresentam as seguintes características em comum: porosidade difusa; vasos numerosos e de pequeno diâmetro; elementos vasculares com placas de perfuração simples; pontoações intervaseculares alternas; parênquima paratraqueal; e fibras não septadas, de pontoações simples. *Baccharis longoattenuata* distingue-se pelos vasos com espessamentos espiralados e em arranjo diagonal. Em *Baccharis milleflora*, o arranjo de vasos segue o padrão radial e seus elementos são desprovidos de espessamentos espiralados.

Palavras-chave: Anatomia da madeira, Asteraceae, Astereae, *Baccharis longoattenuata*, *Baccharis milleflora*.

SUMMARY

[Wood anatomy of two brazilian species of *Baccharis* L. (Asteraceae – Astereae)].

The woods of *Baccharis longoattenuata* An. S. de Oliveira and *Baccharis milleflora* (Less.) DC. are anatomically described. Both species show the following features: diffuse porous; small and numerous vessels; vessel elements with simple perforation plates; alternate intervessel pits; paratracheal axial parenchyma; and non-septate fibres, with simple pits. *Baccharis longoattenuata* distinguishes itself by the dendritic vessel arrangement and the presence of helical thickenings in vessel elements. The vessel arrangement in the wood of *Baccharis milleflora* follows a radial pattern and its elements are devoided of helical thickenings.

Keywords: Wood anatomy, Asteraceae, Astereae, *Baccharis longoattenuata*, *Baccharis milleflora*.

INTRODUÇÃO

O presente estudo trata da descrição microscópica da madeira de duas espécies: *Baccharis longoattenuata* An. S. de Oliveira e *B. milleflora* (Less.) DC.

Nativa na orla de florestas subtropicais do leste e nordeste do Rio Grande do Sul, bem como do sudeste de Santa Catarina, *Baccharis longoattenuata* An. S. de Oliveira é uma das

espécies de maior porte no gênero botânico a que pertence, alcançando alguns indivíduos cerca de 15 m de altura. Descrita recentemente (Oliveira & Deble, 2006), a espécie pertence à seção Nitidae Cuatrecasas (ou série Hirsutae Giuliano), e era confundida nos herbários com *Baccharis mesoneura* DC. e *B. lateralis* Baker. Igualmente próxima a *Baccharis muelleri* Baker, *B. longoattenuata* distingue-se por suas

¹ Recebido em 10/4/2007 e aceito para publicação em 30/4/2007, o presente artigo é resultado parcial de projeto vinculado a Bolsa de Produtividade em Pesquisa, CNPq-Brasil. Os autores agradecem a Marcos Roberto Ferreira, acadêmico do curso de Engenharia Florestal da UFSM, pela colaboração nas medições anatômicas.

² Engenheiro Florestal, Dr., bolsista de Produtividade em Pesquisa do CNPq-Brasil, Professor Titular do Departamento de Ciências Florestais, Universidade Federal de Santa Maria, CEP 97105-900, Santa Maria (RS). balduinia@mail.ufsm.br

³ Bióloga, MSc., bolsista CAPES, doutoranda do Programa de Pós-Graduação em Engenharia Florestal, Centro de Ciências Rurais, Universidade Federal de Santa Maria, CEP 97105-900, Santa Maria (RS). anabela.biol@mail.ufsm.br

⁴ Engenheiro Florestal, MSc., doutorando do Programa de Pós-Graduação em Engenharia Florestal, Centro de Ciências Rurais, Universidade Federal de Santa Maria, CEP 97105-900, Santa Maria (RS). lucianodenardi@yahoo.com.br

folhas obovadas, obtusas até rotundas no ápice e longo-atenuadas na base, bem como pelos capítulos femininos que reúnem 20-25 flores (Oliveira & Deble, 2006).

Arbusto de ramos alados e folhas bractei-formes, *Baccharis milleflora* (Less.) DC. é nativo no sudeste do Brasil e Uruguai (Müller, 2006), sobretudo em solos úmidos de áreas campestres, sítios onde contribui para a fisionomia dos “campos sujos” (Barroso & Bueno, 2002). Indivíduos plenamente desenvolvidos podem ultrapassar 2 m de altura, formando troncos curtos, de até 8 cm de diâmetro. As alas, de 5-10mm de largura, inserem a espécie no numeroso grupo das “carquejas”, designação popular atribuída às plantas da seção Caulopterae DC. ou subgênero Molina (Persoon) Heering. Sob o ponto de vista ecológico, a presença de ramos alados e folhas ausentes ou bracteiiformes conferem um caráter aparentemente xeromórfico às espécies do grupo.

REVISÃO DE LITERATURA

Apesar da abundância de espécies lenhosas na tribo Astereae e no gênero *Baccharis*, os estudos anatômicos sobre o grupo geralmente versam sobre espécies medicinais, fato que pode ser atribuído à reduzida dimensão dos troncos e, conseqüentemente, ao escasso valor econômico de suas madeiras.

Em diagnose concisa, Record & Hess (1949) relacionam aspectos microscópicos para as madeiras de Asteraceae (ou Compositae). Sem qualquer referência sobre detalhes estruturais em *Baccharis* L., os autores citam as seguintes características anatômicas para a família: porosidade difusa, menos comumente em anel; poros geralmente pequenos a diminutos, ocasionalmente de diâmetro médio; poros pouco frequentes e solitários, ou então numerosos, em múltiplos radiais ou em arranjos dentrítico e ulmiforme; elementos vasculares curtos, com placas de perfuração simples (raro escalariformes) e espessamentos espiralados na parede (principalmente em espécies de regiões tem-

peradas); pontoações intervasculares alternas, muito pequenas até grandes; raios homogêneos ou heterogêneos, com 3 ou mais, por vezes até 8-10 células de largura; parênquima paratraqueal escasso; e fibras geralmente septadas, com pontoações simples muito pequenas. Os autores referem a presença de estratificação em poucas espécies e de floema incluso em *Artemisia tridentata* Nutt., frisando, para o conjunto da família, a ausência de dutos gomíferos e de séries cristalíferas nos parênquima axial e radial.

Em minuciosa descrição das Compositae, Metcalfe & Chalk (1972) relacionam os seguintes aspectos anatômicos para *Baccharis* L.: vasos muito pequenos (< 50 µm), em padrão nitidamente radial e em arranjo oblíquo ou em linhas tangenciais; porosidade em anel ou semidifusa; elementos vasculares com espessamentos espiralados (em espécies de regiões temperadas); e parênquima axial com numerosas células fusiformes, por vezes estratificado. Cristais solitários, são referidos para o parênquima axial de *Ericameria* e os raios de *Ericameria* e *Proustia* (Metcalfe & Chalk, 1972), diferentemente do reportado por Record & Hess (1949). Sobre este último aspecto, Carlquist (1966) indica a presença de cristais prismáticos em raras Compositae, inclusive em *Baccharis* L.

Para a tribo Astereae, Carlquist (1960) informa que o diâmetro médio dos poros, embora inferior a 50 µm na maioria das espécies, pode ultrapassar de 100 µm, inclusive em alguns *Baccharis* (*B. cassiniaefolia*, *B. concava*, *B. neglecta*, *B. thesioides*). Com relação ao comprimento de elementos vasculares, o mesmo autor destaca que o caráter, inferior a 150 µm na maioria das espécies, em poucos casos ultrapassa 300 µm, fato que pode ser debitado tanto a uma posição filética mais elevada da tribo, dentro das Compositae, como à especialização acelerada, vinculada a habitats mais áridos.

A presença de traqueídeos vasculares, caráter igualmente associado à redução no diâmetro de vasos, é referida para nove espécies de

Baccharis: *B. angustifolia*, *B. glomerulifolia*, *B. halimifolia*, *B. lanceolata*, *B. obtusifolia*, *B. patagonica*, *B. rosmarinifolia*, *B. sergiioides* e *B. thesioides* (Carlquist, 1960).

No tocante aos espessamentos espiralados, Carlquist (1960) observou que o caráter pode ou não ser observado no gênero em estudo. Por sua vez, a ausência de placas de perfuração escalariforme nas Astereae, com a única exceção de *Grindelia cuneifolia*, depõe favoravelmente à interpretação da tribo como detentora de um alto grau de especialização no xilema.

O arranjo ou agrupamento de vasos proporciona notável diversidade de padrões na tribo Astereae. Em *Baccharis thesioides* e *B. viminea*, por exemplo, o número de vasos por grupo é menor no lenho inicial, diferentemente do lenho tardio, onde os vasos, que são menores, compõem agrupamentos extremamente numerosos; nas demais espécies, os grandes agrupamentos encontram-se bem distribuídos por todo a anel de crescimento. Vasos em racemos são reportados para *Baccharis angustifolia* e agregados tangenciais para *B. rosmarinifolia*; grandes agregados de vasos, por sua vez, reúnem-se freqüentemente em zig-zag ou arranjo diagonal, tanto em espécies de *Baccharis* como de *Olearia* (Carlquist, 1960).

Em estudo anatômico de *Baccharis dracunculifolia* DC., *B. patens* Baker e *B. tridentata* Vahl, Marchiori & Oliveira (2007) assinalaram as seguintes características comuns às três espécies: porosidade difusa; vasos numerosos e de pequeno diâmetro; elementos vasculares com placas de perfuração simples e espessamentos espiralados; pontoações intervasculares alternas, diminutas a pequenas; pontoações raio-vasculares similares; parênquima paratraqueal; e fibras não septadas, com pontoações simples. *Baccharis dracunculifolia* e *B. patens* separaram-se de *B. tridentata* pela presença de cristais prismáticos em células radiais e pelos poros em arranjo nitidamente dendrítico. *Baccharis patens*, por sua vez, separa-se de *B. dracunculifolia* por ter apenas células quadradas, nos raios.

MATERIAL E MÉTODOS

Procedente do Estado do Rio Grande do Sul, o material em estudo consiste de duas amostras de madeira e respectivo material botânico, que foram incorporados às coleções do Herbário do Departamento de Ciências Florestais (HDCF) da Universidade Federal de Santa Maria, com os seguintes registros:

– Marchiori, J. N. C. s.n., 20.VI.2006, *Baccharis milleflora* (Less.) DC.; São Francisco de Paula, RS, Floresta Nacional; HDCF 5520.

– Oliveira, An. S. de & Deble, L. P., s.n., 23.XII.2003, *Baccharis longoattenuata* An. S. de Oliveira; Caçapava do Sul, Guaritas; HDCF 5590.

De cada amostra de madeira foram preparados três corpos-de-prova, orientados para a obtenção de cortes anatômicos nos planos transversal, longitudinal radial e longitudinal tangencial. Os corpos-de-prova foram amolecidos mediante fervura em água e trabalhados em micrótomo de deslize, regulado para a obtenção de cortes anatômicos com espessura nominal de 20 µm. Os cortes foram coloridos com acridina-vermelha, crisoidina e azul-de-astra, (Dujardin, 1964), desidratados em série alcoólica ascendente (30%, 50%, 75%, 90%, 95%, duas vezes álcool absoluto) e montados em lâminas permanentes com resina sintética (Entellan).

Das amostras de madeira, preparou-se, ainda, um quarto corpo-de-prova, com vistas à maceração. Usou-se, neste caso, a técnica de Jeffrey (Burger & Richter, 1991), sendo a pasta resultante tingida com solução aquosa de safranina 1%. A desidratação e montagem de lâminas permanentes seguiram o anteriormente descrito, com a diferença de que a primeira dessas etapas foi desenvolvida sobre papel de filtro.

As descrições microscópicas basearam-se nas recomendações e terminologia do Iawa Committee (1989). As medições anatômicas foram realizadas em microscópio Carl Zeiss, no Laboratório da Anatomia da Madeira da Uni-

versidade Federal de Santa Maria. As fotomicrografias foram tomadas em aparelho Olympus Camedia C-3000, sendo as imagens trabalhadas nos programas Olympus Microsuite TM Basic e Corel Draw 9, no Laboratório de Anatomia da Madeira da Universidade Federal do Paraná.

DESCRIÇÕES ANATÔMICAS

Baccharis longoattenuata An. S. de Oliveira

Camadas de crescimento distintas. Vasos em porosidade difusa, de $32 \pm 6 \mu\text{m}$ de diâmetro, agrupados em pequenos racemos e em múltiplos radiais (Figura 1A, B) de 4 ou mais poros, compondo um padrão diagonal. Elementos vasculares de $230 \pm 30 \mu\text{m}$ de comprimento, com placas de perfuração simples (Figura 1D), oblíquas, e apêndices geralmente em ambas as extremidades. Vasos estratificados, com espessamentos espiralados e pontoações intervasculares alternas; pontoações raio-vasculares aparentemente simples, de bordas reduzidas. Traqueídeos vasicêntricos, tiloses e gomas, ausentes no material em estudo. Parênquima axial aliforme-confluente (Figura 1B), por vezes unilateral, geralmente com 2 células por série. Raios não estratificados, com frequência superior a 5/mm, e 1-3 células de largura (Figura 1E); os multisseriados, com 12 ± 3 células de altura, reúnem células procumbentes, no centro, e uma ou mais fileiras marginais de células quadradas e/ou eretas (Figura 1C). Cristais, células oleíferas, células perfuradas e canais intercelulares, ausentes. Fibras libriformes de $704 \pm 81 \mu\text{m}$ de comprimento, com paredes finas até espessas e pontoações simples; fibras não septadas, desprovidas de espessamentos espiralados e cristais. Quanto à composição do lenho, as fibras correspondem a 46% do volume da madeira, seguida pelos vasos (21%), raios (19%) e parênquima axial (14%).

Baccharis milleflora (Less.) DC.

Camadas de crescimento distintas. Vasos com $27,3 \pm 5 \mu\text{m}$ de diâmetro, em distribuição

difusa e agrupados em múltiplos (Figura 2B), compondo, em conjunto, um padrão fracamente tangencial-diagonal (Figura 2A). Elementos vasculares de $204 \pm 41 \mu\text{m}$ de comprimento, com placas de perfuração simples (Figura 2D) e apêndices geralmente em ambas as extremidades; estratificação, presente em vasos. Pontoações intervasculares alternas (Figura 2F); pontoações raio-vasculares distintamente areoladas. Espessamentos espiralados, traqueídeos vasicêntricos, tiloses e gomas, ausentes no material em estudo. Parênquima axial paratraqueal-confluente, geralmente com 2 células por série. Raios com 1-3 células de largura (Figura 2E, 2F), não estratificados (Figura 2E), com frequência superior a 8/mm; os multisseriados, com 10 ± 3 células de altura, reúnem células procumbentes e 1-2 fileiras marginais de células quadradas (Figura 2C); cristais, células oleíferas, células perfuradas e canais intercelulares, ausentes. Fibras libriformes de $519 \pm 85 \mu\text{m}$ de comprimento, com paredes estreitas até espessas e pontoações simples; espessamentos espiralados e cristais, ausentes. No tocante à composição do lenho, as fibras correspondem a 46% do volume da madeira, seguida pelos vasos (22%), parênquima axial (17%) e raios (15%).

DISCUSSÃO

Os caracteres anatômicos comuns às madeiras de *Baccharis longoattenuata* e *B. milleflora* são larga ocorrência na família Asteraceae (ou Compositae), segundo Record & Hess (1949) e Metcalfe & Chalk (1972): porosidade difusa; poros diâmetro pequeno, numerosos e com placas de perfuração simples; pontoações intervasculares alternas; parênquima paratraqueal; e fibras com pontoações simples muito pequenas.

A ocorrência de vasos de diâmetro inferior a $50 \mu\text{m}$, observada nas duas espécies, é aspecto comum à maioria das Astereae (Carlquist, 1960), podendo ser atribuída tanto à posição filética mais elevada da tribo, dentro da família Compositae, como à especialização acelerada, vinculada à xeromorfia. A respeito desse caráter, cabe ressaltar a pequena diferença obser-

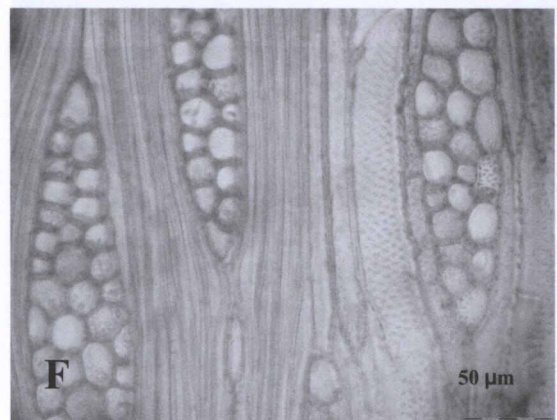
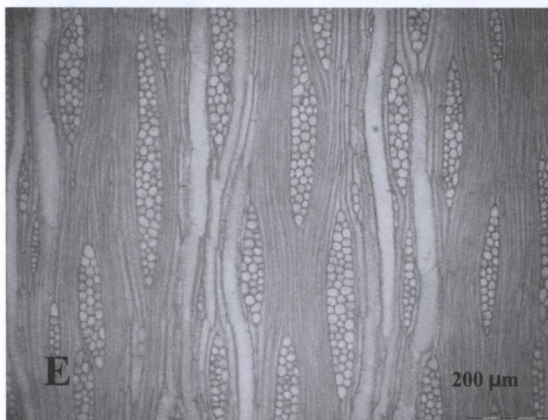
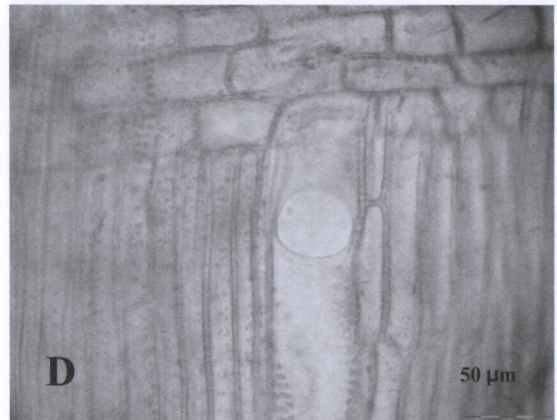
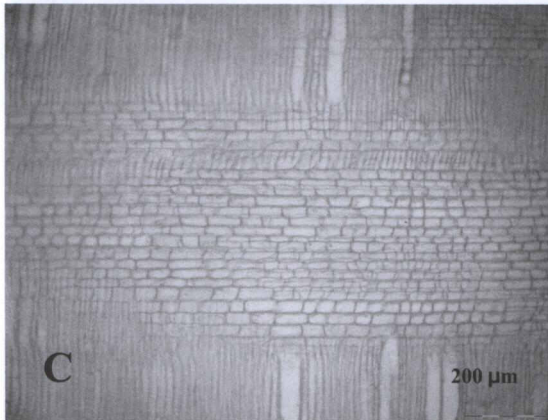
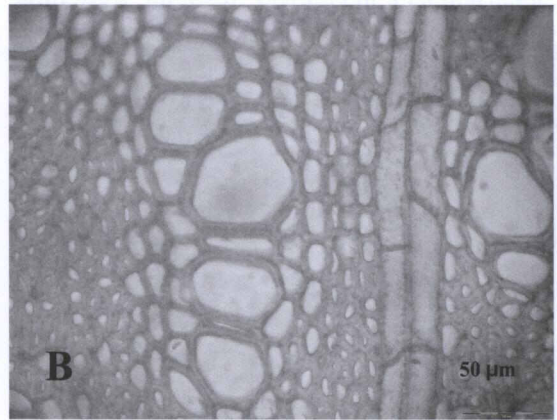
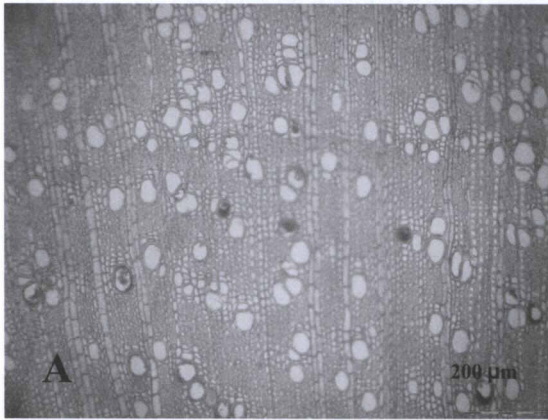


FIGURA 1: Aspectos anatômicos da madeira de *Baccharis longoatenuata*. Vasos em porosidade difusa, agrupados em pequenos racemos e em múltiplos radiais de 4 ou mais poros (A). Poros em múltiplos radiais e parênquima axial aliforme-confluente (B). Raios multisseriados compostos de células procumbentes e células quadradas (C). Elemento vascular com placa de perfuração simples (D). Raios não estratificados com frequência superior a 5/mm, e 1-3 células de largura (E). Pontoado intervascular alterno e raios multisseriados, em seção longitudinal tangencial (F).

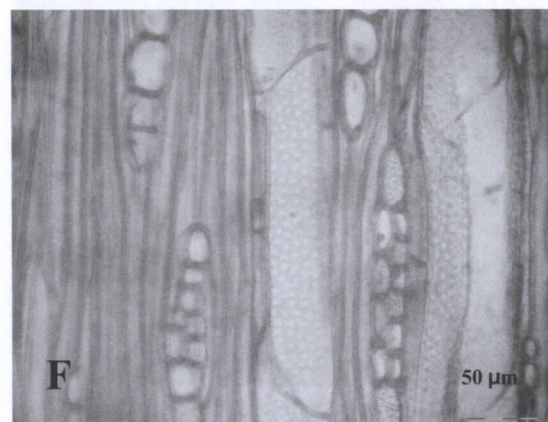
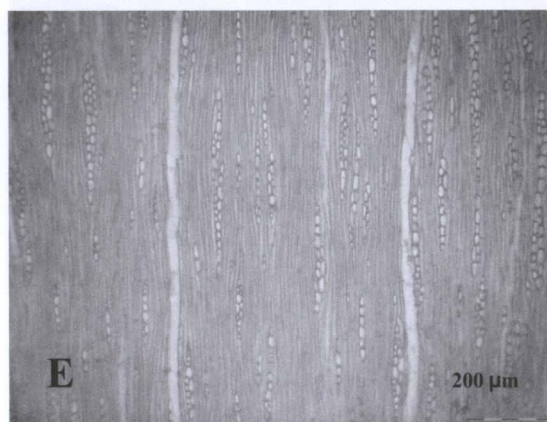
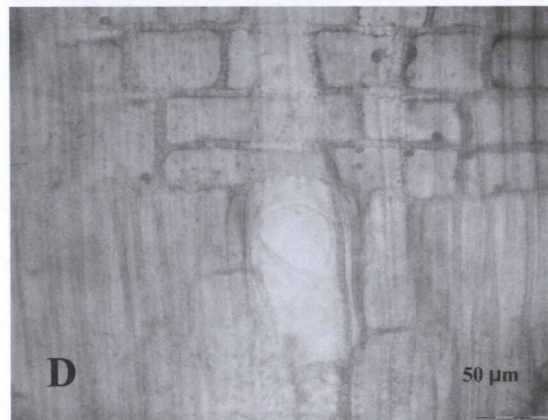
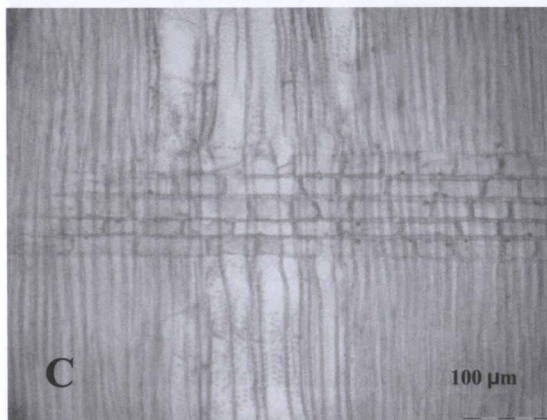
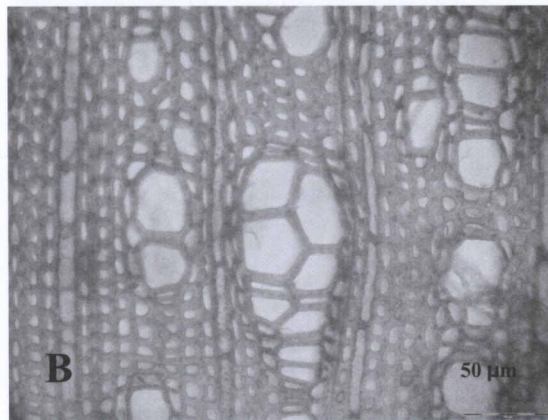
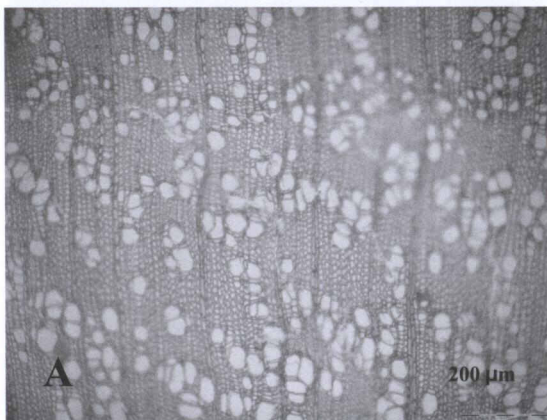


FIGURA 2: Aspectos anatômicos da madeira de *Baccharis milleflora*. Vasos em porosidade difusa, compondo, em conjunto, um padrão fracamente tangencial-diagonal (A). Poros agrupados em múltiplos e parênquima paratraqueal (B). Raio com células procumbentes e quadradas (C). Vaso com placa de perfuração simples (D). Raios não estratificados, com 1-3 células de largura (E). Pontoaços intervasculares e raios com 1-3 células de largura (F).

vada entre *Baccharis longoattenuata* ($32 \pm 6 \mu\text{m}$), uma das espécies de maior porte no gênero botânico em questão, e *Baccharis milleflora* ($27,3 \pm 5 \mu\text{m}$), que é arbusto de caule alado. Apesar de seu menor porte e da morfologia externa aparentemente mais xeromórfica, o diâmetro dos vasos em *Baccharis milleflora* não difere significativamente do observado em *B. longoattenuata*, fato que depõe favoravelmente a uma correlação mais estreita e de natureza evolutiva para o conjunto do gênero, com relação ao referido caráter anatômico.

Os espessamentos espiralados, além de permitirem uma fácil separação entre as espécies em estudo (presentes em *Baccharis longoattenuata*, ausentes em *B. milleflora*), também requerem comentário de enfoque anatômico-ecológico. Por suas folhas bracteiformes, caules alados e hábito arbustivo, *Baccharis milleflora* é aparentemente mais xeromórfica do que *B. longoattenuata*, contrariando o testemunho da estrutura anatômica. De início, cabe lembrar que a presença de espessamentos espiralados em vasos, caráter predominante nas espécies de *Baccharis*, é geralmente interpretada como estratégia ecológica vinculada à xeromorfia, por aumentar a superfície interna dos vasos, favorecendo a capilaridade (Carlquist, 1966). Aparente paradoxo, a ausência de espessamentos espiralados nos vasos de *Baccharis milleflora* aponta para a necessidade de novos estudos anatômicos, incluindo outras espécies da seção *Caulopterae* DC. (ou subgênero *Molina* (Persoon) Heering), com vistas ao esclarecimento de eventuais significados filéticos e/ou evolutivos para o conjunto dos *Baccharis*, e seus diferentes grupos infragenéricos (seções ou subgêneros).

Além de traço comum em *Baccharis* e espécies xeromórficas de outros gêneros, os vasos numerosos e de pequeno diâmetro, observados nas duas espécies em estudo, também proporcionam maior capilaridade à madeira, tendo, portanto, valor adaptativo à xeromorfia, traço marcante em espécies da flora campestre. Os elementos vasculares curtos ($< 250 \mu\text{m}$),

comuns a *Baccharis longoattenuata* e *B. milleflora*, também favorecem a capilaridade, pois proporcionam maior número de placas de perfuração por unidade de volume de madeira.

De acordo com Carlquist (1966), o hábito arbóreo geralmente indica mesomorfia em Compositae. No presente estudo, todavia, a estrutura microscópica da madeira é notavelmente semelhante em ambas as espécies, e de natureza xeromórfica. Apesar de seu porte arbóreo, o lenho de *Baccharis longoattenuata* não difere, neste aspecto, do observado em *B. milleflora* e do descrito por Marchiori & Oliveira (2007) para *B. dracunculifolia*, *B. patens* e *B. tridentata*.

Ao contrário da maioria das Compositae (Record & Hess, 1949), as fibras de *Baccharis longoattenuata* e *B. milleflora* não são septadas, concordando, neste aspecto, com o observado por Marchiori & Oliveira (2007) em outras três espécies do gênero. Suas pontuações, todavia, são simples e pequenas, como de regra na família (Metcalf & Chalk, 1972).

A ausência de cristais – observada no material em estudo e aspecto predominante nas Compositae (Metcalf & Chalk, 1972) –, permite uma fácil separação de *Baccharis longoattenuata* e *B. milleflora*, com relação a *Baccharis dracunculifolia* e *B. patens*, pois estas apresentam cristais prismáticos e aciculares em células de raio, segundo Marchiori & Oliveira (2007).

BIBLIOGRAFIA

- Barroso, G. M., Bueno, O. L. Compostas. 5. Subtribo Baccharidinae. In: Reitz, P. R. **Flora Ilustrada Catarinense**. Itajaí: Herbário Barbosa Rodrigues, 2002. p. 765-1064, 2002.
- Burger, L. M., Richter, H. G. **Anatomia da madeira**. São Paulo: Ed. Nobel, 1991. 154 p.
- Carlquist, S. Wood anatomy of Asteraceae (Compositae). **Tropical Woods**, n. 113, p. 54-84, 1960.
- Carlquist, S. Wood anatomy of Compositae: a summary with comments on factors controlling wood evolution. **Aliso**, v. 6, n. 2, p. 25-44, 1966.
- Dujardin, E. P. Eine neue Holz-Zellulosenfaerbung. **Mikrokosmos**, n. 53, p. 94, 1964.

- Iawa Committee. Iawa list of microscopic features for hardwood identification. **Iawa Bulletin**, v. 10, n. 3, p. 218-359, 1989.
- Marchiori, J. N. C., Oliveira, A. S. de. Anatomia da madeira de três espécies brasileiras de *Baccharis* L. (Asteraceae - Astereae). **Balduinia**, Santa Maria, n. 10, p. 1-10, 2007.
- Metcalf, C. R., Chalk, L. **Anatomy of the Dicotyledons**. Oxford: Clarendon Press, 1972. 1500 p.
- Müller, J. **Systematics of *Baccharis* (Compositae-Astereae) in Bolivia, including an overview of the genus**. Ann Arbor: The American Society of Plants Taxonomists, 2006. 341 p. (Systematic Botany Monographs, v. 76).
- Oliveira, A. S. de, Deble, L. P. Duas novas espécies sul-brasileiras de *Baccharis* L. (Asteraceae - Astereae). **Balduinia**, Santa Maria, n. 9, p. 4-9, 2006.
- Record, S. J., Hess, R. W. **Timbers of the New World**. New Haven: Yale University Press, 1949. 640 p.